

# НИЗКОТЕМПЕРАТУРНЫЕ РАДИАЦИОННЫЕ ПАРАМАГНИТНЫЕ ЦЕНТРЫ В КРИСТАЛЛАХ $\text{Ca}_3\text{Ga}_2\text{Ge}_3\text{O}_{12}$

*A. E. Носенко, Б. В. Падляк*

Исследовались спектры электронного парамагнитного резонанса (ЭПР) поминально чистых монокристаллов кальций—галлий—германиевого граната (КГГГ), подвергнутых интенсивному рентгеновскому и  $\gamma$ -облучению при температурах 295 и 77 К. Впервые в кристаллах  $\text{Ca}_3\text{Ga}_2\text{Ge}_3\text{O}_{12}$ , облученных при 77 К, зарегистрирован спектр ЭПР радиационных парамагнитных центров (ПМЦ), предложена их модель и механизм образования.

Исследуемые кристаллы относятся к структурному типу граната (общая формула  $(\text{C}_3)[\text{A}_2](\text{D}_3)\text{O}_{12}$ ), принадлежащего к гексаоктаэдрическому классу кубической сингонии с пространственной группой  $O_h^{10}—Ia3d$  [1]. Элементарная ячейка граната содержит 8 формульных единиц. В структуре граната ион С (24{c}) окружен 8 ионами кислорода, образующими додекаэдр с локальной симметрией  $D_{2-222}$ . Ион А (16[a]) окружен кислородным октаэдром симметрии  $C_{3z}-\bar{3}$ , ион Д (24(a)) — тетраэдром симметрии  $S_4-\bar{4}$ . Ионы кислорода находятся в общих положениях 96(h) с локальной симметрией  $C_1$  и образуют кубическую объемоцентрированную решетку с плотной упаковкой. Фрагмент проекции структуры КГГГ на плоскость (100) показан на вставке рис. 2.

Монокристаллы  $\text{Ca}_3\text{Ga}_2\text{Ge}_3\text{O}_{12}$  были получены из расплава по методу Чохральского. Регистрация спектров ЭПР производилась на радиоспектрометре X-диапазона типа РЭ-1306 в режиме высокочастотной (100 кГц) модуляции магнитного поля при температурах 295 и 77 К, а также в режиме терmostатирования в интервале 80—150 К. Ориентация образцов осуществлялась по габитусу и рентгенодифракционным методом с точностью  $\pm 0.5^\circ$ . Образцы для измерений имели форму цилиндра с ориентированным плоским основанием диаметром 3 и высотой 5 мм. Спектры ЭПР исследовались при вращении зеемановского поля в кристаллографических плоскостях (110) и (100). Параллельно со спектрами ЭПР исследовались также спектры дополнительного оптического поглощения. Перед облучением производился контроль на наличие примесных ПМЦ в исследуемых образцах методом ЭПР. При этом во всех поминально чистых кристаллах КГГГ зарегистрирован спектр микропримеси ионов  $\text{Fe}^{3+}$  в [a]-позициях решетки в концентрации не более 0.001 ат. % [2, 3]. Рентгеновское облучение образцов производилось нефильтрованным излучением на установке типа РУМ-11 мощностью 300 Р/мин в течение 1—2 ч в режиме:  $U=180$  кВ,  $J=18$  мА,  $\gamma$ -облучение на кобальтовой пушке общими дозами  $1 \cdot 10^5$ — $1.5 \cdot 10^7$  рад.

Рентгенизация и  $\gamma$ -облучение при температуре 295 К не приводят к появлению дополнительных линий в спектрах ЭПР исследуемых гранатов, хотя при этом наводятся характерные полосы дополнительного оптического поглощения с максимумами в области 280 и 360—370 нм [4, 5].

При температуре 77 К рентгеновское и  $\gamma$ -облучение приводит к наведению в поминально чистых кристаллах КГГГ интенсивной темно-фиолетовой окраски, которая при одинаковых условиях облучения в редкоземельных галлиевых гранатах ряда  $\text{R}_3\text{Ga}_5\text{O}_{12}$  ( $\text{R}=\text{Gd}, \text{Nd}, \text{Sm}$ ) визуально не проявляется. Спектр дополнительного оптического поглощения облученных при 77 К кристаллов КГГГ, кроме максимумов, наблюдавшихся и при комнатной температуре [4, 5], содержит дополнительную полосу с максимумом при 540 нм (рис. 1, кривые 1, 2a). Увеличение дозы облучения приводит к возрастанию интенсивности окраски.

Параллельно с наведенной при 77 К окраской в кристаллах КГГГ был зарегистрирован характерный 7-компонентный сигнал ЭПР (рис. 2). Этот сигнал исчезает вместе с наведенной окраской в процессе отогрева облученного образца (рис. 1, кривая 2б), что позволяет приписать наблюдаемые спектры ЭПР и дополнительного оптического поглощения с максимумом при 540 нм одним и тем же центрам. Из рис. 1 (кривая 2б) следует, что эти центры стабильны вплоть до температуры  $T \approx 220$  К и наиболее интенсивный их распад происходит при  $T \approx 270$  К. Температур-

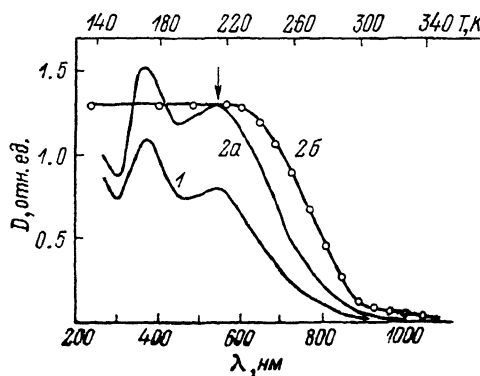


Рис. 1. Спектр дополнительного оптического поглощения кристаллов КГГГ после рентгеновского облучения при температуре 77 К в течение 1 (1) и 2 ч (2а).

2б — падение интенсивности полосы наведенного поглощения с максимумом 540 нм в процессе отогрева образца.

ный распад центров сопровождается интенсивной термолюминесценцией, максимум которой находится в районе 270 К. В редкоземельных галлиевых гранатах  $R_3Ga_5O_{12}$  новые линии в спектрах ЭПР после облучения как при температуре 295 К, так и при 77 К не наблюдались.

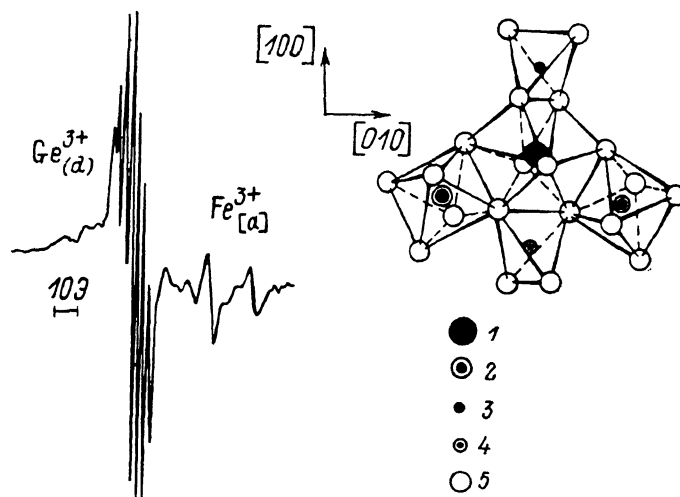


Рис. 2. Спектр ЭПР и кристаллографическая модель радиационного центра  $Ge^{3+}(d)$  в решетке КГГГ.

| Обозначение | Ион       | Тип позиции | Локальная симметрия |
|-------------|-----------|-------------|---------------------|
| 1           | $Ca^{2+}$ | c           | $D_{3d}$            |
| 2           | $Ga^{3+}$ | a           | $C_{3v}$            |
| 3           | $Ge^{4+}$ | d           | $S_4$               |
| 4           | $Ge^{3+}$ | d           | $S_4$               |
| 5           | $O^{2-}$  | h           | $C_1$               |

Исследования и анализ спектра ЭПР нового радиационного центра позволили установить, что он принадлежит ПМЦ с электронным спином  $S=1/2$  и  $g \approx 2.008$ . 7-компонентный сигнал ЭПР (рис. 2) с биномиальным соотношением интенсивностей компонент (1 : 2 : 3 : 4 : 3 : 2 : 1) обусловлен суперсверхтонким взаимодействием (ССТВ) центра с двумя бли-

жайшими ядрами в структуре КГГГ со спином  $J=3/2$ . Анализ изотопного состава кристаллов КГГГ показал, что ССТВ, вероятнее всего, возникает от ядер изотопов  $^{69}\text{Ga}$  и  $^{71}\text{Ga}$ , естественное содержание которых в галлии составляет примерно 60 и 40 % соответственно. Исследования угловых зависимостей в кристаллографических плоскостях (110) и (100) показали, что положение центра спектра от угла практически не зависит, а расстояние между компонентами суперсверхтонкой структуры (ССТС) слабо изменяется, что проявляется в уширении линий. Максимальное разрешение спектра достигается в ориентации  $\Pi \parallel [100]$ . Отсутствие угловой зависимости не дает возможности разрешить спектры ЭПР от ПМЦ в различных магнитно-неэквивалентных положениях и свидетельствует о том, что, по-видимому, радиационные центры находятся в  $S$ -состоянии.

Наблюдаемые спектры ЭПР можно описать спин-гамильтонианом вида

$$\mathcal{H} = g\beta\mu\hat{S} + \sum_{i=1}^2 \hat{S}_{a_i} \hat{J}_i, \quad (1)$$

где  $g \approx 2.008$ ,  $\beta$  — магнетон Бора;  $a_i \approx 6$  Э — постоянная ССТВ неспаренного электрона парамагнитного центра с магнитным ядерным моментом  $J_i=3/2$  ядра  $i$ -го катиона  $\text{Ga}^{3+}$ . При 77 К полуширина линий каждой отдельной компоненты спектра равна примерно 3.2 Э. Так как ядерные спины изотопов  $^{69}\text{Ga}$  и  $^{71}\text{Ga}$  одинаковы, а их магнитные моменты близки по величине, то ССТС спектра ЭПР от комбинаций ядер  $^{69}\text{Ga}-^{69}\text{Ga}$ ,  $^{69}\text{Ga}-^{71}\text{Ga}$ ,  $^{71}\text{Ga}-^{71}\text{Ga}$  при 77 К не разрешается.

Исходя из приведенных результатов и учитывая структуру и состав КГГГ (рис. 2), а также тот факт, что в редкоземельных галлиевых гранатах, не содержащих германия, характерная радиационная окраска и спектр ЭПР отсутствуют, мы предполагаем, что наблюдаемые спектры могут быть приписаны ПМЦ типа  $\text{Ge}^{3+}_{(d)}$ . Такие центры могут образоваться в процессе облучения кристаллов КГГГ путем захвата электронов регулярными катионами  $\text{Ge}^{4+}$ , занимающими ( $d$ )-позиции решетки. Известно, что свободные ионы  $\text{Ge}^{3+}$  имеют парамагнитное основание  $S$ -состояние (электронная конфигурация  $-4s^1(^2S_{1/2})$ ). Спектр ЭПР электронных центров  $\text{Ge}^{3+}$  (основное состояние  $-4s^24p(^2P_{1/2})$ ) впервые наблюдали авторы [6] в кристаллах  $\text{NaCl} : \text{Ge}^{2+}$ ,  $\text{KCl} : \text{Ge}^{2+}$  после рентгеновского облучения при температуре 77 К. Однако, как отмечалось в [6], спектр ЭПР дырочных центров  $\text{Ge}^{3+}$  в щелочно-галоидных кристаллах, легированных ионами  $\text{Ge}^{2+}$ , после облучения не наблюдался.

Для подтверждения предположения об образовании  $\text{Ge}^{3+}_{(d)}$ -центров в КГГГ мы попытались обнаружить 10-компонентный сигнал СТС от изотопов  $^{73}\text{Ge}$  ( $J=9/2$ , природное содержание 7.7 %). Известно [7], что амплитуда этого сигнала примерно в 100 раз меньше от сигнала четных изотопов, а константа СТС порядка 250 Э. Однако сигналы СТС не были выделены, так как примерно в этом интервале ( $\sim 2500$  Э) наблюдается спектр ЭПР примеси  $\text{Fe}^{3+}$ , состоящий из 40 линий от центров в 8 магнитно-неэквивалентных [ $a$ ]-позициях. Кроме этого, каждая из сверхтонких компонент спектра  $^{73}\text{Ge}^{3+}$  в КГГГ расщепляется на 7 линий ССТС. Для убедительного доказательства образования  $\text{Ge}^{3+}_{(d)}$ -центров в КГГГ необходимы дальнейшие исследования на кристаллах, либо обогащенных изотопом  $^{73}\text{Ge}$ , либо не содержащих посторонних примесей со сложными спектрами ЭПР.

#### Л и т е р а т у р а

- [1] Geller S. // Z. Kristallogr. 1967. V. 125. N 1. S. 1—47.
- [2] Носенко А. Е., Падляк Б. В., Кравчишин В. В. // Физ. электрон. 1986. № 33. С. 73—77.
- [3] Падляк Б. В. // Материалы 2-й конф. мол. уч. физ. фак. Львов. ун-та. Львов, 1986. С. 52—53. Деп. в УкрНИИФИ 16.12.1986. № 2790-Ук-86.
- [4] Носенко А. Е., Костык Л. В., Падляк Б. В. // УФЖ. 1984. Т. 29, № 9. С. 1425—1427.

- [5] Носенко А. Е., Костык І. В. // УФЖ. 1986. Т. 31. № 1. С. 1425—1427.  
[6] Бадалян А. Г., Баранов П. Г., Храмцов В. А. и др. / ФТГ. 1985. Т. 27. № 7.  
С. 1984—1988.  
[7] Holton W. C., Watts R. K. // J. Chem. Phys. 1969. V. 51. N 4. P. 1615—1620.

Львовский государственный  
университет им. И. Франко  
Львов

Поступило в Редакцию  
19 апреля 1988 г.  
В окончательной редакции  
10 августа 1988 г.

УДК 548.537.611.43 : 539.124

*Физика твердого тела, том 31, в. 2, 1989*  
*Solid State Physics, vol. 31, № 2, 1989*

## ЭПР ИОНОВ $\text{Ag}^{2+}$ В КРИСТАЛЛЕ $\text{SrF}_2$

*M. M. Зарипов, B. A. Уланов, M. T. Фалин*

При замещении катионов решетки в кристаллах типа флюорита ионы двухвалентного серебра (электронная конфигурация  $4d^9$ ) оказываются в электрическом поле восьми отрицательных ионов фтора так, что основной терм свободного иона  $\text{Ag}^{2+}$  ( ${}^2D$ ) расщепляется на возбужденный орбитальный дублет  ${}^2E_g$  и основной триплет  ${}^2T_{2g}$ . Таким образом, появляется возможность изучения эффекта Яна—Теллера на основном триплетном орбитальном состоянии  $d$ -иона с восьмикратной кубической координацией.

Некоторые результаты исследования методом ЭПР ионов  $\text{Ag}^{2+}$  в кристаллах  $\text{CdF}_2$  и  $\text{CaF}_2$  были опубликованы в работе [1]. Здесь представляются экспериментальные данные по изучению ионов двухвалентного серебра в кристаллах  $\text{SrF}_2$ . Исследуемые кристаллы выращены в графитовом тигле методом Бриджмена в атмосфере смеси гелия и фтора ( $\sim 5\%$  по объему). В качестве примеси вводилось металлическое серебро. В результате исследования выращенных кристаллов установлено, что в  $\text{SrF}_2$  (так же как в  $\text{CdF}_2$  и  $\text{CaF}_2$  [1]) в процессе роста кристалла образуются центры одновалентного серебра. Рентгеновское облучение при комнатной температуре вызывает переход этих центров в двухвалентное состояние, что приводит к появлению в исследуемых образцах спектров ЭПР, наблюдаемых при температурах ниже 30 К. Спектры описываются ( $T=4.2$  К,  $f=9.3$  ГГц) спиновым гамильтонианом (СГ) следующего вида:

$$\mathcal{H} = 3HgS + SaI_{\text{Ag}} + \sum_{i=1}^8 (SA^{(i)}I_F^{(i)} - g_{\text{eff}}^i \mu_B H I_F^{(i)}), \quad (1)$$

где  $S=I_{\text{Ag}}=I_F=1/2$ . Модель центра и оси координат представления тепловых СГ (1) приведены на рис. 1.

Тензоры  $g$ ,  $A^{(1)}$ ,  $A^{(2)}$ ,  $a$  аксиальные, в принятой системе координат имеют диагональный вид и описывают угловые зависимости электронного зеемановского, лигандного сверхтонкого (ЛСТВ) с ядрами  ${}^{19}\text{F}$  (1, 2) и сверхтонкого (ЛСТВ) с ядром серебра взаимодействий. Тензор  $A^{(1)}$  эквивалентен тензору  $A^{(2)}$ . Эквивалентные тензоры  $A^{(3-8)}$ , описывающие ЛСТВ с ядрами  ${}^{19}\text{F}$  (3—8), в принятой системе координат имеют пять независимых компонент (симметрия взаимодействия  $C_s$ ). Однако достигнутая в экспериментах точность не позволяет определить антисимметричные части этих тензоров, поэтому здесь можно говорить лишь о значениях компонент их симметричных частей, диагонализирующихся в локальной системе координат, повернутой вокруг оси  $Y$  исходной системы координат (рис. 1) на угол  $\gamma$ .

Обычно (при симметрии взаимодействия  $D_{2h}$  и выше) параметры СГ могут быть определены из спектров в главных ориентациях парамагнит-